

Zeitschrift: Eclogae Geologicae Helvetiae
Herausgeber: Schweizerische Geologische Gesellschaft
Band: 63 (1970)
Heft: 2

Artikel: Über den Ursprung der Neoammonoideen : das Problem einer Typogenese
Autor: [s.n.]
Anhang: Tafeln
DOI: <https://doi.org/10.5169/seals-163873>

Nutzungsbedingungen

Die ETH-Bibliothek ist die Anbieterin der digitalisierten Zeitschriften auf E-Periodica. Sie besitzt keine Urheberrechte an den Zeitschriften und ist nicht verantwortlich für deren Inhalte. Die Rechte liegen in der Regel bei den Herausgebern beziehungsweise den externen Rechteinhabern. Das Veröffentlichen von Bildern in Print- und Online-Publikationen sowie auf Social Media-Kanälen oder Webseiten ist nur mit vorheriger Genehmigung der Rechteinhaber erlaubt. [Mehr erfahren](#)

Conditions d'utilisation

L'ETH Library est le fournisseur des revues numérisées. Elle ne détient aucun droit d'auteur sur les revues et n'est pas responsable de leur contenu. En règle générale, les droits sont détenus par les éditeurs ou les détenteurs de droits externes. La reproduction d'images dans des publications imprimées ou en ligne ainsi que sur des canaux de médias sociaux ou des sites web n'est autorisée qu'avec l'accord préalable des détenteurs des droits. [En savoir plus](#)

Terms of use

The ETH Library is the provider of the digitised journals. It does not own any copyrights to the journals and is not responsible for their content. The rights usually lie with the publishers or the external rights holders. Publishing images in print and online publications, as well as on social media channels or websites, is only permitted with the prior consent of the rights holders. [Find out more](#)

Download PDF: 20.08.2025

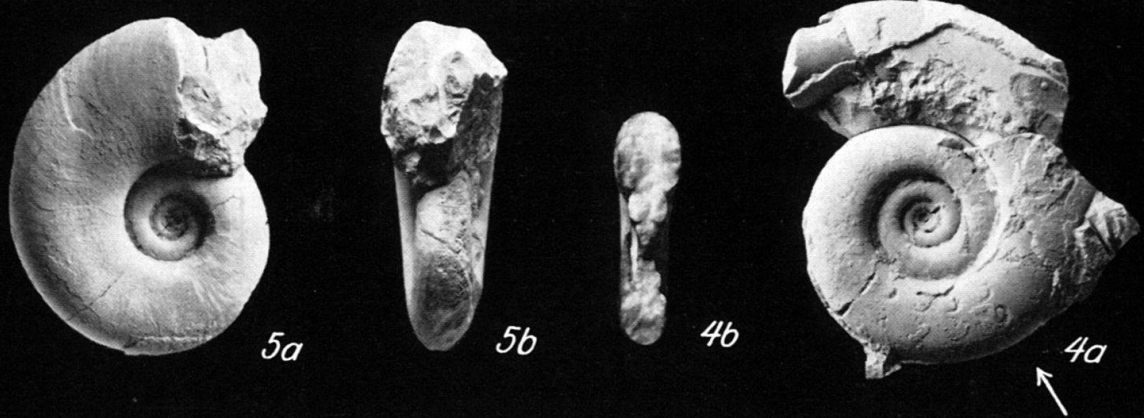
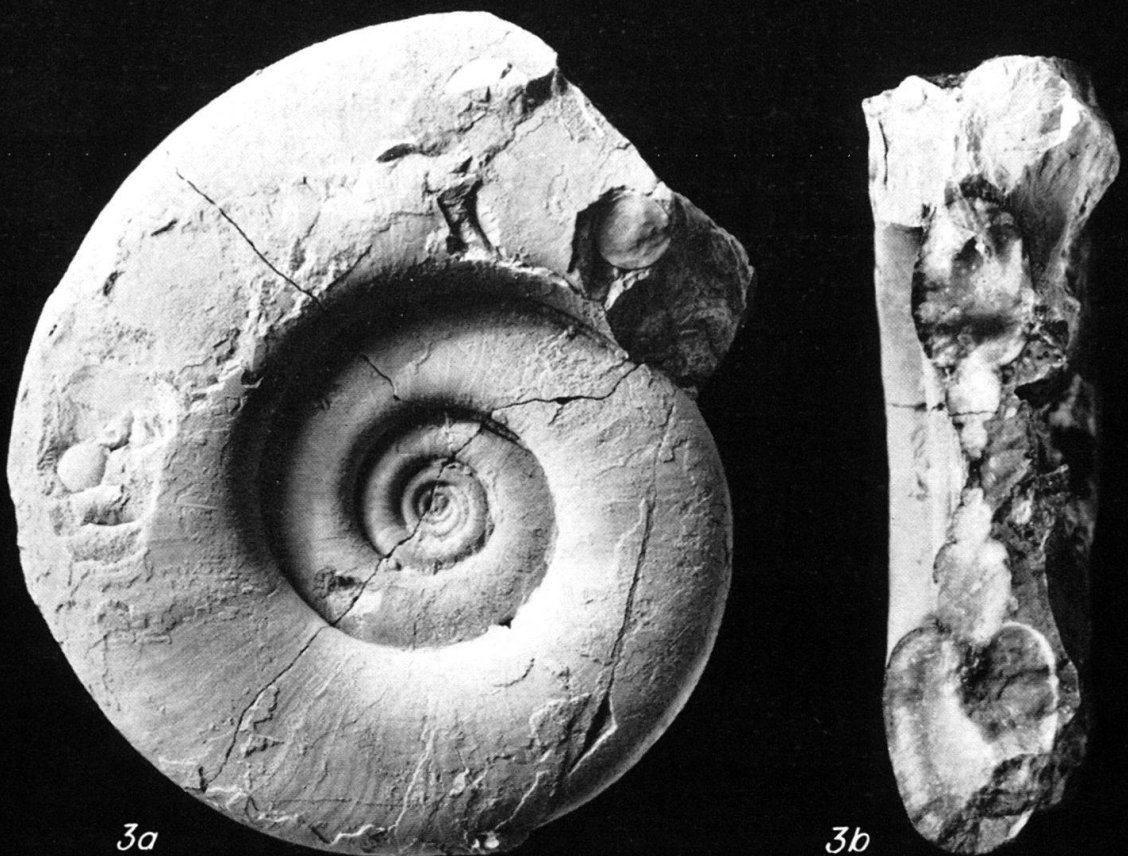
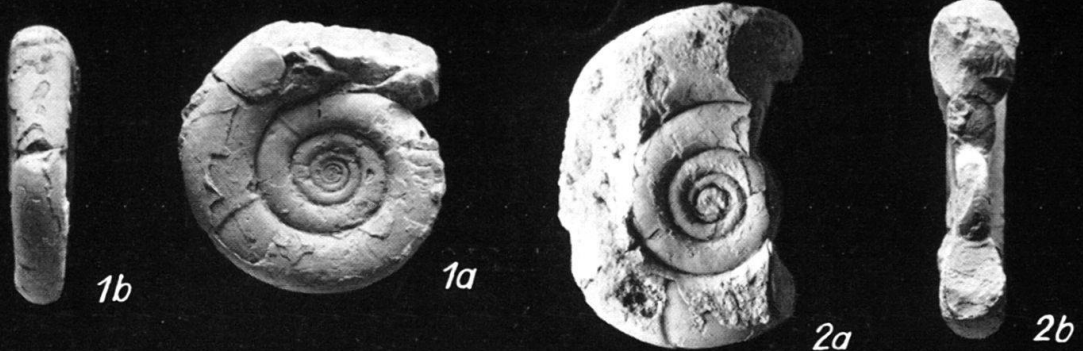
ETH-Bibliothek Zürich, E-Periodica, <https://www.e-periodica.ch>

- WIEDMANN, J. (1969): *The Heteromorphs and Ammonoid Extinction*. Biol. Rev. 44, 563–602.
- (1970a): s. KULLMANN & WIEDMANN.
 - (1970b): *Probleme der Lobenterminologie*. Eclogae geol. Helv. 61/3, 909–922.
- WIEDMANN, J. & DIENI, I. (1968): *Die Kreide Sardiniens und ihre Cephalopoden*. Palaeontogr. italica 64, 1–171.
- WINKLER, G. G. (1861): *Der Oberkeuper, nach Studien in den bayrischen Alpen*. Z. dt. geol. Ges. 13, 459–521.
- WRIGHT, C. W. (1955): *Notes on Cretaceous Ammonites. II. The Phylogeny of the Desmocerataceae and the Hoplitaceae*. Ann. Mag. nat. Hist. (12) 8, 561–575.
- (1957): s. ARKELL, KUMMEL & WRIGHT.
- WRIGHT, TH. (1883): *Monograph on the Lias Ammonites of the British Islands. VI*. Palaeontogr. Soc. 37/179, 401–440.
- ZAKHAROV, Ju. D. (1967): (*Einige Noritaceae (Ceratiten) aus der Trias des Fernen Osten*). Paleont. Zh. 1967, Nr. 2, 44–51 [Russ.].
- ZAPFE, H. (1967): *Beiträge zur Paläontologie der nordalpinen Riffe. Die Fauna der Zlambach-Mergel der Fischerwiese bei Aussee, Steiermark*. Ann. nat.-hist. Mus. Wien 71, 431–480.
- ZIETEN, C. H. von (1830): *Die Versteinerungen Württembergs*. 102 S., Stuttgart (Unsere Zeit).
- ZITTEL, K. A. von (1881–1885): *Paläozoologie. II. Handbuch der Paläontologie 1*, 893 S., München & Leipzig (Oldenbourg).

Tafel 1

- Fig. 1. *Leiophyllites suessi* (MOJSISOVICS).
Holotyp GBAW 1698a [vgl. MOJSISOVICS 1882, Taf. 79, Fig. 4], *trinodosus*-Zone, Oberes Anis, Schreyer-Alpe (Gosau, Österr.).
a: Lateral-, b: Ventralansicht.
- Fig. 2. *Leiophyllites suessi* (MOJSISOVICS).
«Paratypoid» GBAW 1698b, gleicher Fundpunkt.
a: Lateral-, b: Sagittalansicht.
- Fig. 3. *Mojsvarites eugyrus* (MOJSISOVICS).
Lectotyp GBAW 1695 [vgl. MOJSISOVICS 1873, Taf. 19, Fig. 13], *ellipticus*-Linse, Unteres Karn, Feuerkogel (Aussee, Österr.).
a: Lateral-, b: Sagittalansicht.
- Fig. 4. *Mojsvarites eugyrus* (MOJSISOVICS).
Hypotypoid GBAW 8639, m. Wohnkammer, *austriacum*-Linse, Unt. Karn, Feuerkogel (Aussee, Österr.).
a: Lateralansicht, b: Sagittalansicht der Innenwindungen.
- Fig. 5. *Rhacophyllites zitteli* MOJSISOVICS.
Hypotypoid GBAW 8638, Karn, Feuerkogel (Aussee, Österr.).
a: Lateral-, b: Frontalansicht.

Alle Fig. 1/1.



Tafel 2

- Fig. 1. *Simonyceras simonyi* (HAUER).
Hypotypoid GBAW 8635, *ellipticus*-Linse (?), Unteres Karn, Feuerkogel (Aussee, Österr.).
a: Lateral-, b: Frontal-, c: Ventralansicht. 1/1.
- Fig. 2. *Simonyceras simonyi* (HAUER).
Hypotypoid GBAW 8634, *ellipticus*-Linse, Unteres Karn, Feuerkogel (Aussee, Österr.). Lateralansicht. 1/1.
- Fig. 3. *Mojsvarites agenor* (MÜNSTER).
Neotyp GBAW 1696 [vgl. Mojsisovics 1873, Taf. 16, Fig. 1 sub *Lytoceras morloti*], *aonoides*-Zone, Unteres Karn, Raschberg (Goisern, Österr.).
a: Lateral-, b: Frontalansicht. 2/3.
- Fig. 4. gen. et sp. indet.
Holotyp von *Mojsvarites agenor* [MÜNSTER 1834, Taf. 2, Fig. 9 u. 1841, Taf. 15, Fig. 24], BSM AS VII 350, Karn. St. Cassian (Südtirol).
a: Lateral-, b: Frontalansicht. 3/1.
- Fig. 5. *Eopsiloceras planorboides* (GÜMBEL).
Hypotypoid MAFIB T 1365a [vgl. Mojsisovics 1893, Taf. 128, Fig. 26 sub *Mono-phyllites clio*], grauer Crinoidenkalk, Oberes Nor, Somhegy – Drnava (ČSSR, vor-mals Dernö, Ungarn).
a: Lateral-, b: Frontal-, c: Ventralansicht. 1/1.



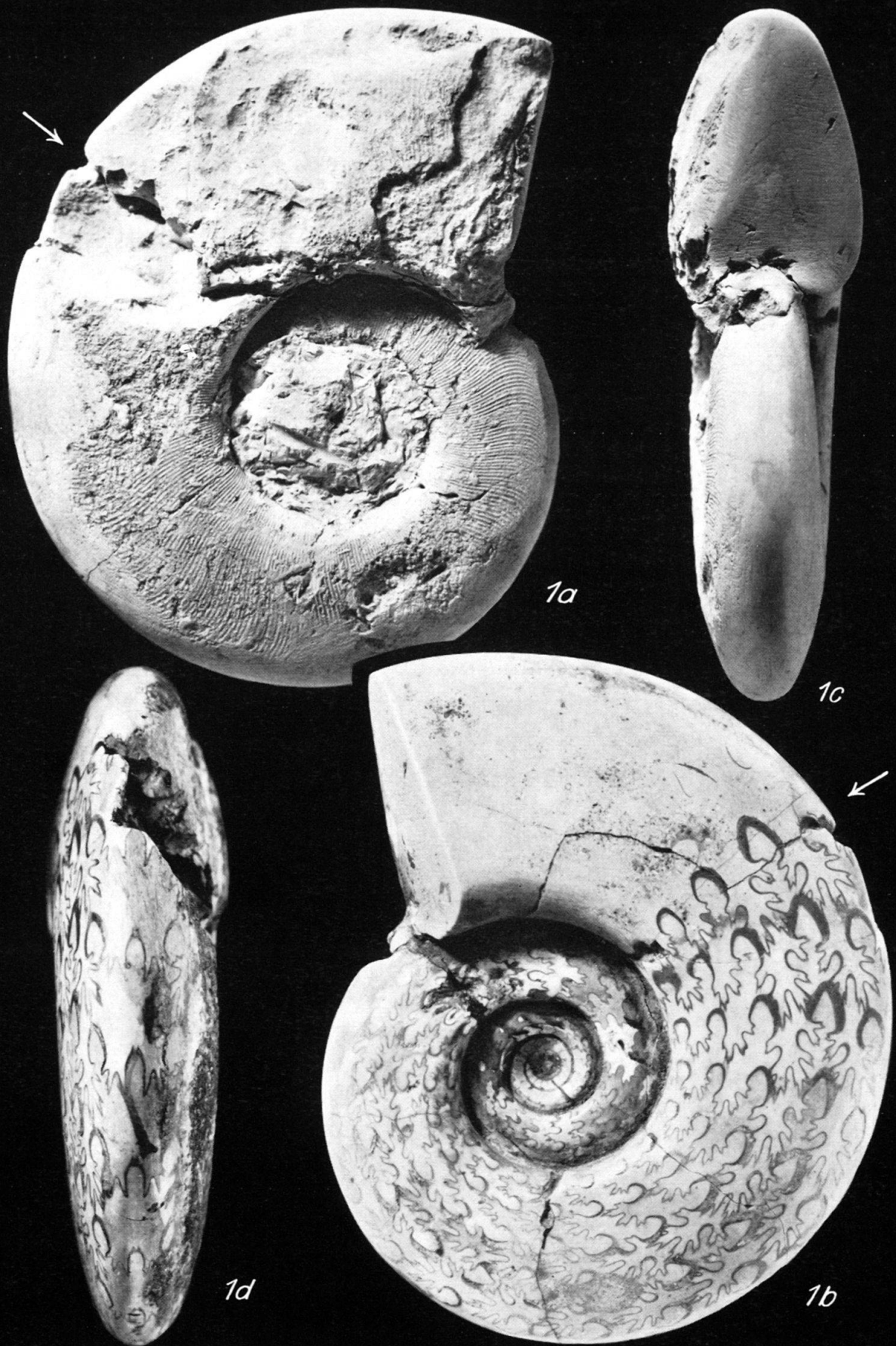
Tafel 3

Fig. 1.

Simonyceras simonyi (HAUER).

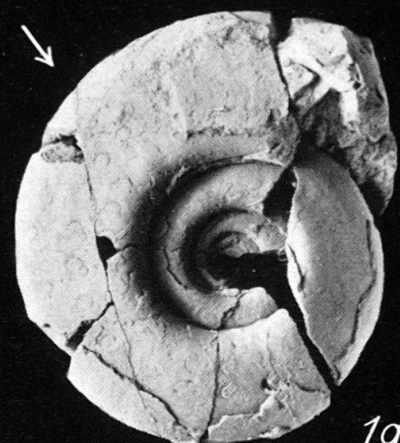
Hypotypoid GBAW 1697 [vgl. MOJSISOVICS 1873, Taf. 17, Fig. 5], Unteres Karn, Feuerkogel (Aussee, Österr.).

a: Lateralansicht beschalt, b: Lateralansicht Steinkern, c: Frontal-, d: Ventralansicht. 1/1.



Tafel 4

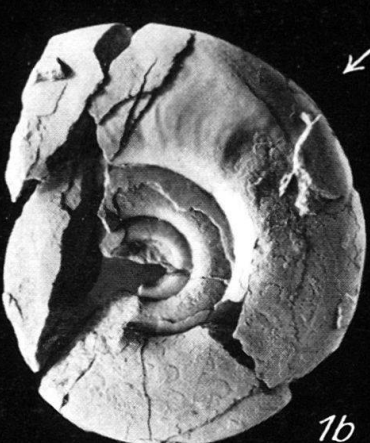
- Fig. 1. *Wopfingites krystyni* n. gen. n. sp.
Holotyp PIW 2032a, Hallstätter Kalk, Oberes Nor, Mühltal N Wopfing im Prielstingtal (Niederösterr.).
a: Lateralansicht Steinkern, b: Lateralansicht, teilweise beschalt, c: Ventralansicht. 1/1.
- Fig. 2. *Wopfingites krystyni* n. gen. n. sp.
Paratypoid PIW 2032b, Fundpunkt w. o.
a: Lateral-, b: Frontalansicht der Aussenwindungen, c: Frontal-, d: Ventral-, e: Sagittalansicht der Innenwindungen. 1/1.
- Fig. 3. *Eopsiloceras planorboides* (GÜMBEL).
Hypotypoid MAFIB T 1365 b [vgl. Mojsisovics 1893, Taf. 128, Fig. 27 sub *Mono-phyllites clio*], grauer Crinoidenkalk, Oberes Nor, Somhegy – Drnava (ČSSR, vor-mals Dernö, Ungarn).
a: Lateral-, b: Frontal-, c: Sagittalansicht. 2/1.
- Fig. 4. *Eopsiloceras planorboides* (GÜMBEL).
Neotyp BSM AS I 702 [vgl. POMPECKJ 1895, Taf. 1, Fig. 1], Kössener Schichten, Rhät, Lahnewiesgraben (Garmisch-Partenkirchen, Bayern). Lateralansicht. 1/1.



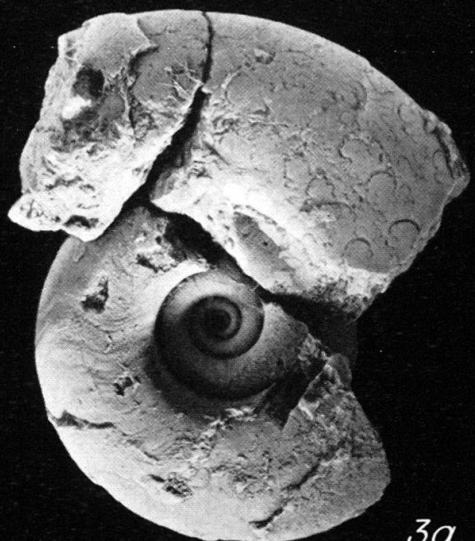
1a



1c



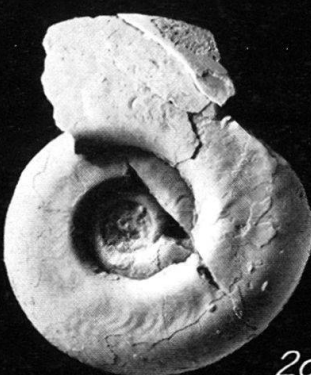
1b



3a



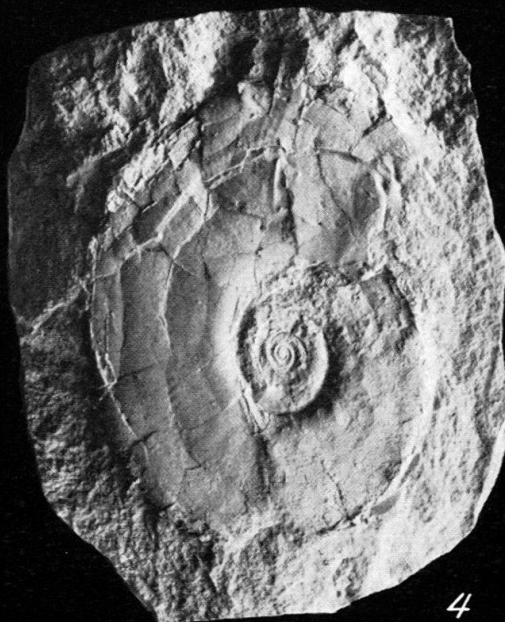
3c



2a



3b



4



2c



2b



2e



2d

Tafel 5

Fig. 1.

Holcolytoceras nodostrictum (QUENSTEDT).

Holotyp GPIT Ce 5/33/20 [vgl. QUENSTEDT 1885, Taf. 33, Fig. 20], *ibex*-Zone, Unterer Pliensbachien, Hinterweiler (Tübingen, Württemberg).

a, b: Lateral-, c: Ventral-, d: Frontalansichten. 3/1.

Fig. 2.

Holcolytoceras nodostrictum (QUENSTEDT).

Hypotypoid BSM AS I 705 [vgl. POMPECKJ 1896, Taf. 10, Fig. 6], Fundpunkt w.o.
a: Lateral-, b: Ventral-, c: Frontalansicht. 2/1.

Fig. 3.

Holcolytoceras nodostrictum (QUENSTEDT).

Hypotypoid GPIT Ce 1373/2, Fundpunkt w. o.
a: Lateral-, b: Ventral-, c: Frontalansicht. 3/1.

Fig. 4.

Holcolytoceras nodostrictum (QUENSTEDT).

Hypotypoid GPIT Ce 1373/3, Übergang zu *H. rau* n. sp., *ibex*-Zone, Unterer Pliensbachien von Ofterdingen (Tübingen, Württemberg).
a: Lateral-, b: Ventral-, c: Frontalansicht. 3/1.

Fig. 5.

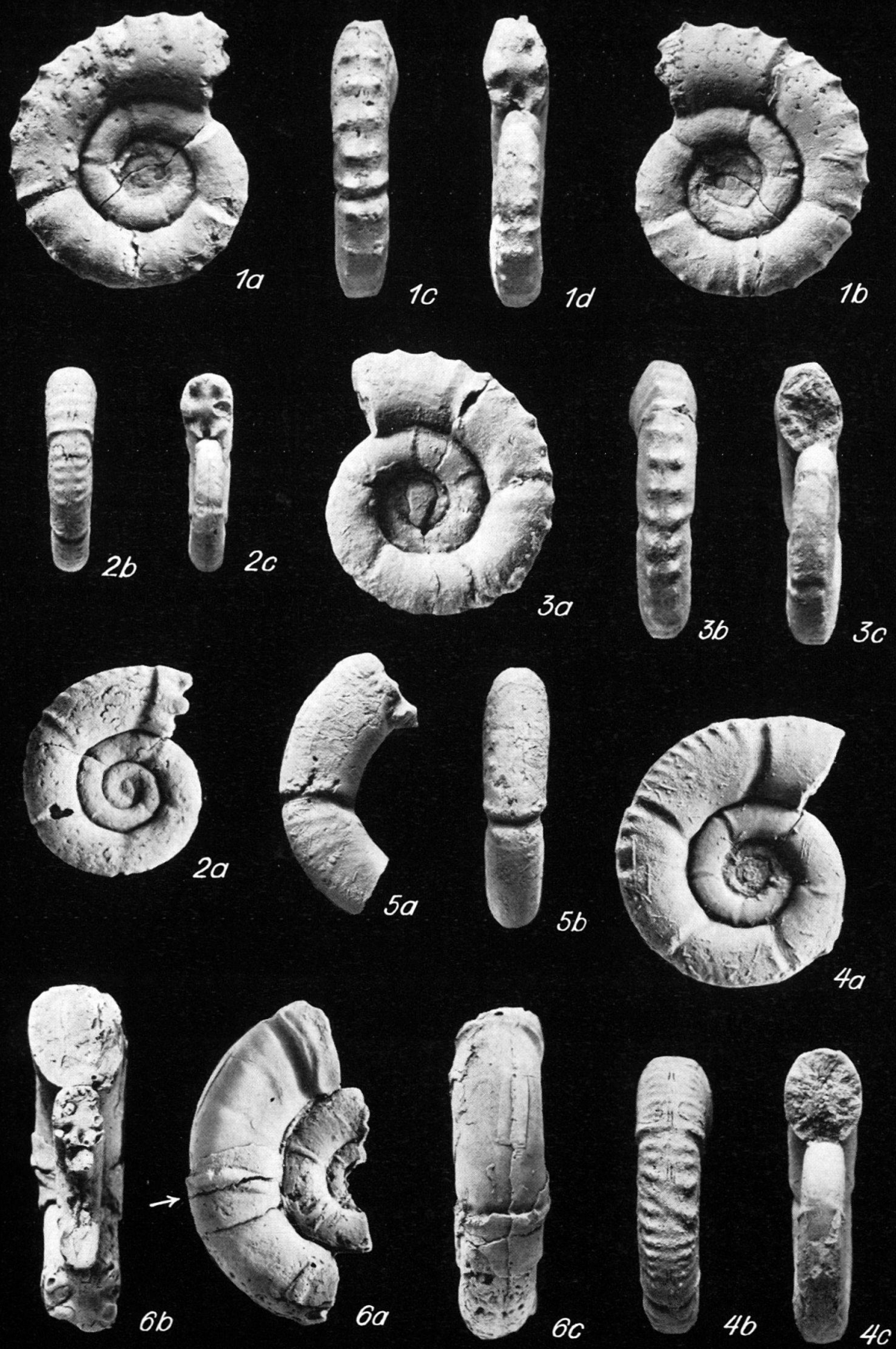
Holcolytoceras rau n. sp.

Holotyp GPIT Ce 1373/4 (leg. RAU), Fundpunkt w. o.
a: Lateral-, b: Ventralansicht. 2/1.

Fig. 6.

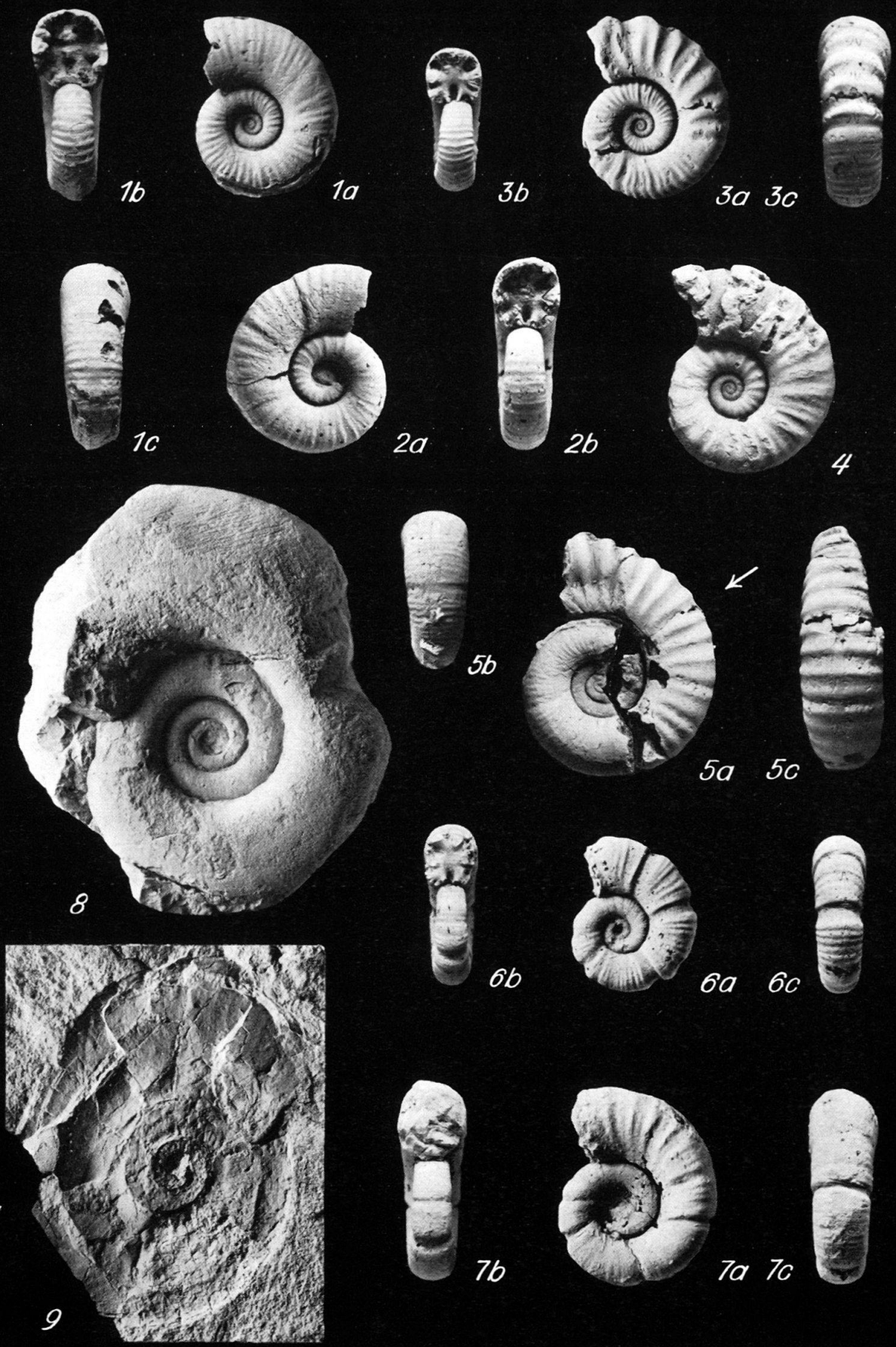
Trachyphyllites costatus ARTHABER.

Holotyp MGMD KA 13559 [vgl. ARTHABER 1927, Taf. 17, Fig. 3], Nor, Bihati (Timor). Abguss.
a: Lateral-, b: Sagittal-, c: Ventralansicht. 1/1.



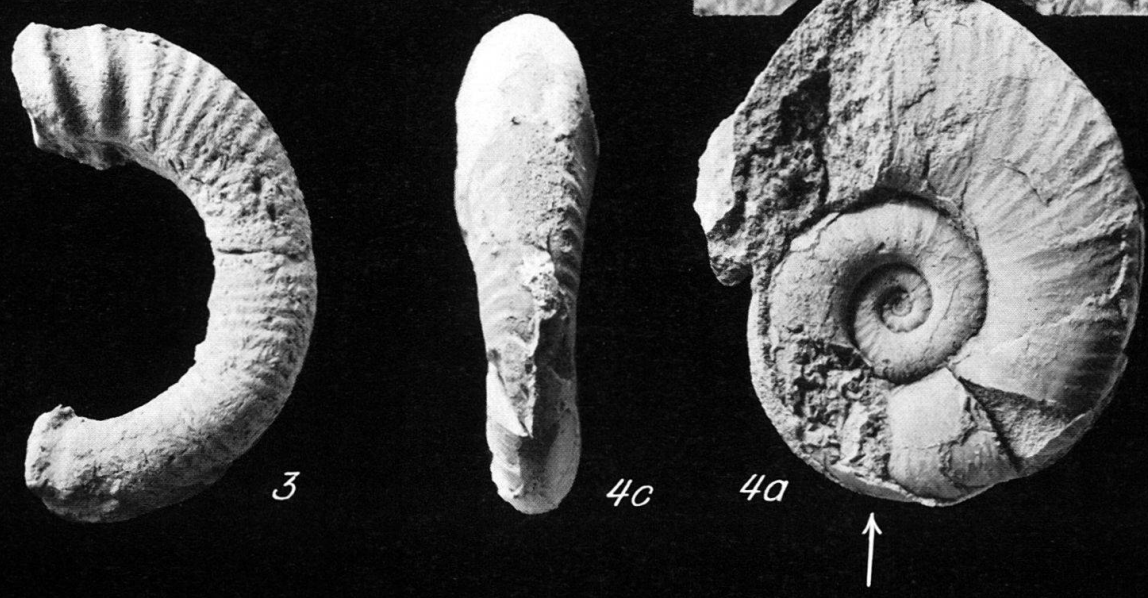
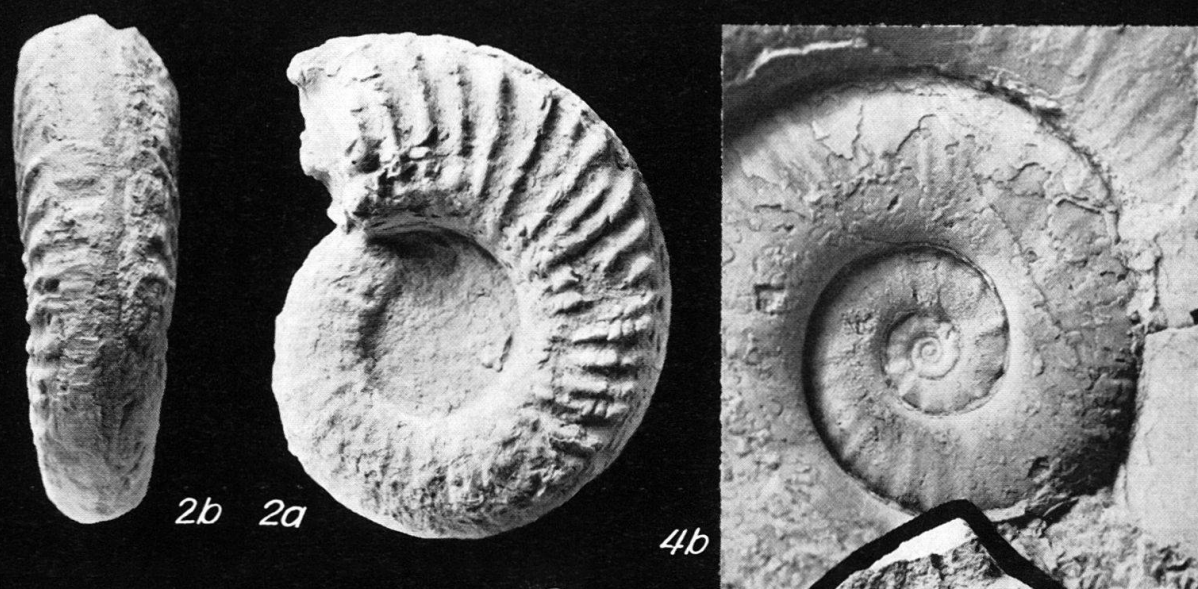
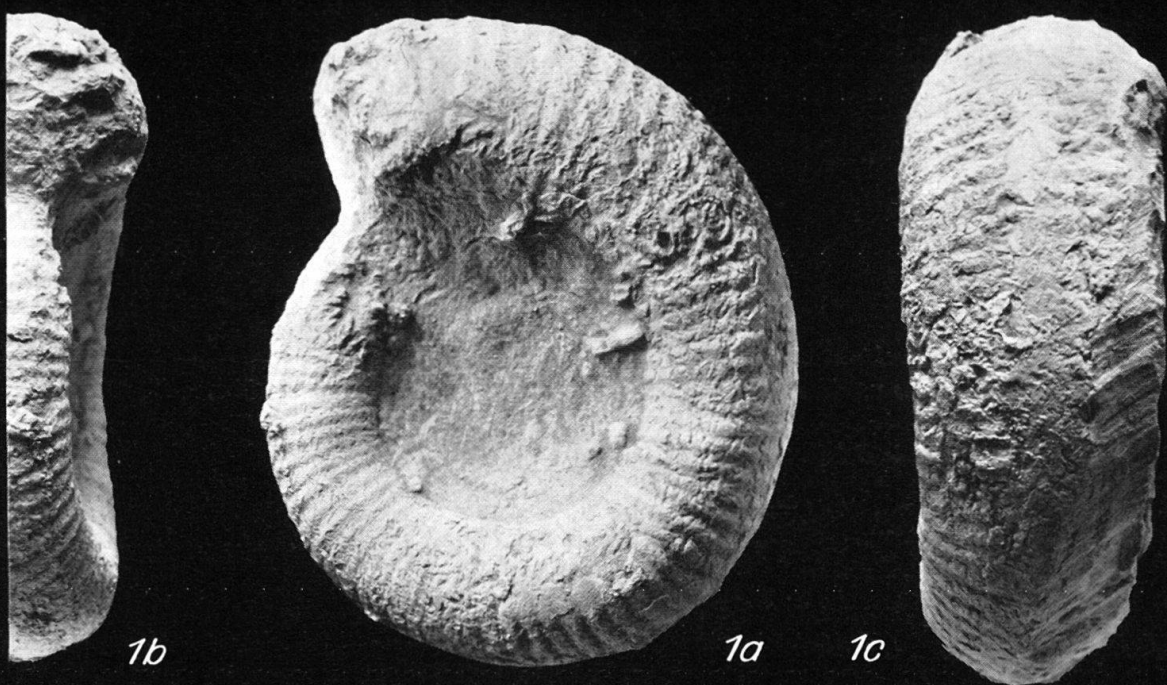
Tafel 6

- Fig. 1. *Lytoceras fimbriatum* (J. SOWERBY).
Hypotypoid GPIT Ce 5/39/14 [vgl. QUENSTEDT 1885, Taf. 39, Fig. 14 sub *Amm. lineatus*], Oberes Pliensbachien, Hechingen (Württemberg).
a: Lateral-, b: Frontal-, c: Ventralansicht. 2/1.
- Fig. 2. *Lytoceras fimbriatum* (J. SOWERBY).
Hypotypoid GPIT Ce 1373/7, Unteres (?) Pliensbachien Württembergs.
a: Lateral-, b: Frontalansicht. 2/1.
- Fig. 3. *Derolytoceras tortum* (QUENSTEDT).
Lectotyp GPIT Ce 5/39/12 [vgl. QUENSTEDT 1885, Taf. 39, Fig. 12], Oberes Pliensbachien, Heiningen (Württemberg).
a: Lateral-, b: Frontal- (Innenwindung), c: Ventralansicht. 2/1.
- Fig. 4. *Lytoceras salebrosum* POMPECKJ.
Hypotypoid GPIT Ce 1373/8, Pliensbachien Württembergs. Lateralansicht. 3/1.
- Fig. 5. *Derolytoceras tortum* (QUENSTEDT).
Paratypoid GPIT Ce 5/39/11 [vgl. QUENSTEDT 1885, Taf. 39, Fig. 11 sub *Amm. lineatus annulosus*], Pliensbachien Württembergs.
a: Lateral-, b: Ventral- (Innenwindung), c: Ventralansicht (Aussenwindung). 2/1.
- Fig. 6. *Lytoceras fimbriatum* (J. SOWERBY).
Hypotypoid GPIT Ce 5/39/9 [vgl. QUENSTEDT 1885, Taf. 39, Fig. 9 sub *Amm. lineatus interruptus*], Unteres Pliensbachien, Balingen(?) (Württemberg).
a: Lateral-, b: Frontal-, c: Ventralansicht. 1/1.
- Fig. 7. *Lytoceras fimbriatum* (J. SOWERBY).
Hypotypoid GPIT Ce 5/39/8 [vgl. QUENSTEDT 1885, Taf. 39, Fig. 8 sub. *Amm. lineatus interruptus*], Unteres Pliensbachien, Heiningen (Württemberg).
a: Lateral-, b: Frontal-, c: Ventralansicht. 1/1.
- Fig. 8. *Discophyllites patens* (MOJSISOVICS).
Holotyp GBAW 1720 [vgl. MOJSISOVICS 1873, Taf. 16, Fig. 13, Taf. 19, Fig. 17], Nor, Sommeraukogel (Hallstatt, Österr). Lateralansicht. 1/1.
- Fig. 9. *Eopsiloceras planorboides* (GÜMBEL).
Hypotypoid BSM 1962 I 288, Kössener Schichten, Rhät, Kramer-Plateau (Garmisch-Partenkirchen, Bayern). 1/1.



Tafel 7

- Fig. 1.** *Lytotropites fucinii* (BONARELLI).
Hypotypoid IGT (leg. BONARELLI), Sinemurien, Ponte Alto (Foci di Cagli, Zentralappennin).
a: Lateral-, b: Frontal-, c: Ventralansicht. 1/1.
- Fig. 2.** *Peltolytoceras giordanii* (BONARELLI).
Hypotypoid IGT (leg. BONARELLI), Fundpunkt w. o.
a: Lateral-, b: Ventralansicht. 1/1.
- Fig. 3.** *Lytoconites hierlatzicus* (GEYER).
Hypotypoid IGT (leg. BONARELLI), Oberes Sinemurien, Foci del Burano (Zentralappennin). Lateralansicht. 1/1.
- Fig. 4.** *Eolytoceras tasekoi* FREBOLD.
Holotyp GSC 20059 [vgl. FREBOLD 1967, Taf. 8, Fig. 2], Unt. Hettangien, Taseko-Seengebiet (Brit. Columbia, Kanada).
a: Lateral-, c: Ventralansicht. 1/1.
b: Innenwindungen. 3/1.



Tafel 8

Fig. 1.

Adnethiceras adnethicum (HAUER).

Holotyp GBAW 576 [vgl. HAUER 1854 b, Taf. 1, Fig. 1, 2], Oberes Sinemurien, Adneth (Salzburg, Österr.).

a: Lateral-, b: Frontal-, c: Ventralansicht. 1/1.

Fig. 2.

Adnethiceras haueri n. sp.

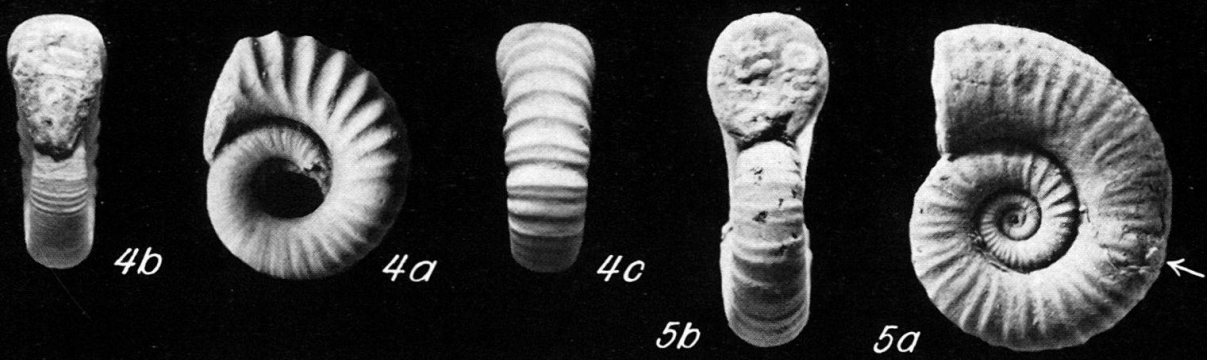
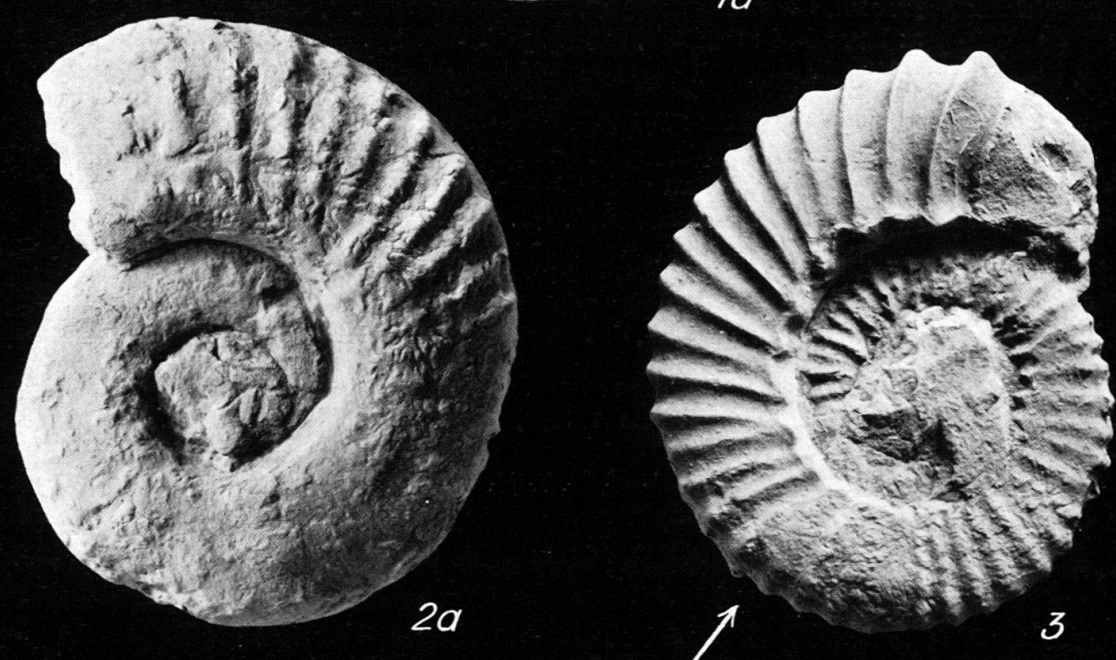
Holotyp GPIT Ce 3/19/10 [vgl. QUENSTEDT 1848, Taf. 19, Fig. 10 sub *Amm. cf. linearis*], Fundpunkt w. o.

a: Lateral-, b: Frontalansicht. 2/3.



Tafel 9

- Fig. 1. *Adnethiceras herbichi* (BONARELLI).
Hypotypoid GBAW 328b, Oberes Sinemurien, Adneth (Salzburg, Österr.).
a: Lateral-, b: Ventralansicht. 1/1.
- Fig. 2. *Peltolytoceras giordanii* (BONARELLI) [= *P.«morenai»* in sched.].
Hypotypoid IGT (leg. BONARELLI), Sinemurien, Ponte Alto (Foci di Cagli, Zentralappennin).
a: Lateral-, b: Ventralansicht. 1/1.
- Fig. 3. *Tragolytoceras altecinctum* (HAUER).
Hypotypoid IGT [vgl. BONARELLI 1900, Taf. 8, Fig. 12], Oberes Sinemurien, Fundpunkt w. o. Lateralansicht. 1/1.
- Fig. 4. *Derolytoceras tortum* (QUENSTEDT).
Paratypoid GPIT Ce 5/39/13 [vgl. QUENSTEDT 1885, Taf. 39, Fig. 13], Oberes Pliensbachien, Heiningen (Württemberg).
a: Lateral-, b: Frontal-, c: Ventralansicht. 2/1.
- Fig. 5. *Lytoceras salebrosum* POMPECKJ.
Lectotyp GPIT Ce 5/39/10 [vgl. QUENSTEDT 1885, Taf. 39, Fig. 10 sub *Amm. lineatus*], Unterer(?) Pliensbachien, Erzingen (Württemberg).
a: Lateral-, b: Frontalansicht. 1.5/1.



Tafel 10

- Fig. 1. *Psilophyllites hagenowii* (DUNKER).
Hypotypoid GPIT Ce 5/1/18 [vgl. QUENSTEDT 1882, Taf. 1, Fig. 18], Unteres Hettangien, Kanonenberg (Halberstadt, N-Deutschland).
a: Lateral-, b: Ventralansicht. 1/1.
- Fig. 2. *Psilophyllites hagenowii* (DUNKER).
Schwach skulptiertes Hypotypoid BSM 1959 XXIX 1, Unteres Hettangien, Extern (N-Deutschland).
a: Lateral-, b: Frontalansicht. 1.5/1.
- Fig. 3. *Neophyllites biptychus* LANGE
Hypotypoid BSM AS I 717 [vgl. NEUMAYR 1879, Taf. 2, Fig. 6 sub *Aegoceras* cf. *hagenowi*], Unteres Hettangien, Fonsjoch (Achensee, Österr.).
a: Lateral-, b: Sagittal-, c: Ventralansicht. 1/1.
- Fig. 4. *Psiloceras calliphylloides* POMPECKJ.
Holotyp GPIT Ce P/5/3 [vgl. POMPECKJ 1893, Taf. 5, Fig. 3], Unteres Hettangien, Bebenhausen (Tübingen, Württemberg). Der Wohnkammer-Pfeil ist nach den Maßangaben im Text geringfügig zu korrigieren.
a: Lateral-, b: Frontalansicht. 1/1.
- Fig. 5. *Phyllytoceras intermedium* n. gen. n. sp.
Holotyp GPIG 648/1, Karn (m. *Halobia rugosa*), Galanderud (Iran).
a: Lateral-, b: Sagittal-, c: Frontalansicht. 15/1.
- Fig. 6. *Phyllytoceras intermedium* n. gen. n. sp.
Paratypoid(?) GPIT Ce 1373/9, Zlambach-Schichten, Rhät, Grünbachgraben (Untersberg, Österr.).
a: Lateral-, b: Sagittalansicht. 7.5/1.



